

Eingabe: Farbmetrisches Fernseh-Licht-System TLS00a

für Buntton $h^* = lab^*h = 40/360 = 0.111$

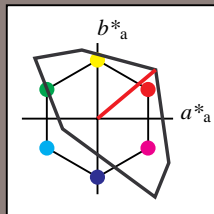
lab^*tch und lab^*nch

D65: Buntton O

LCH*Ma: 51 100 40

olv*Ma: 1.0 0.0 0.0

Dreiecks-Helligkeit t^*



TLS00a; adaptierte CIELAB-Daten

	$L^*=L^*_a$	a^*_a	b^*_a	$C^*_{ab,a}$	$h^*_{ab,a}$
O _{Ma}	50.5	76.92	64.55	100.42	40
Y _{Ma}	92.66	-20.69	90.75	93.08	103
L _{Ma}	83.63	-82.75	79.9	115.04	136
C _{Ma}	86.88	-46.16	-13.55	48.12	196
V _{Ma}	30.39	76.06	-103.59	128.52	306
M _{Ma}	57.3	94.35	-58.41	110.97	328
N _{Ma}	0.01	0.0	0.0	0.0	0
W _{Ma}	95.41	0.0	0.0	0.0	0
R _{CIE}	39.92	58.74	27.99	65.07	25
J _{CIE}	81.26	-2.88	71.56	71.62	92
G _{CIE}	52.23	-42.41	13.6	44.55	162
B _{CIE}	30.57	1.41	-46.46	46.49	272

%Umfang

$u^*_{rel} = 158$

%Regularität

$g^*_{H,rel} = 20$

$g^*_{C,rel} = 37$

$n^* = 1.00$

$n^* = 0.75$

$n^* = 0.50$

$n^* = 0.25$

$n^* = 0.00$

$n^* = 0.75$

$n^* = 0.50$

$n^* = 0.25$

$n^* = 0.00$

$n^* = 0.75$

$n^* = 0.50$

$n^* = 0.25$

$n^* = 0.00$

$n^* = 0.75$

$n^* = 0.50$

$n^* = 0.25$

$n^* = 0.00$

$n^* = 0.75$

$n^* = 0.50$

$n^* = 0.25$

$n^* = 0.00$

$n^* = 0.75$

$n^* = 0.50$

$n^* = 0.25$

$n^* = 0.00$

$n^* = 0.75$

$n^* = 0.50$

$n^* = 0.25$

$n^* = 0.00$

$n^* = 0.75$

$n^* = 0.50$

$n^* = 0.25$

$n^* = 0.00$

$n^* = 0.75$

$n^* = 0.50$

$n^* = 0.25$

$n^* = 0.00$

$n^* = 0.75$

$n^* = 0.50$

$n^* = 0.25$

$n^* = 0.00$

$n^* = 0.75$

$n^* = 0.50$

$n^* = 0.25$

$n^* = 0.00$

$n^* = 0.75$

$n^* = 0.50$

$n^* = 0.25$

$n^* = 0.00$

$n^* = 0.75$

$n^* = 0.50$

$n^* = 0.25$

$n^* = 0.00$

$n^* = 0.75$

$n^* = 0.50$

$n^* = 0.25$

$n^* = 0.00$

$n^* = 0.75$

$n^* = 0.50$

$n^* = 0.25$

$n^* = 0.00$

$n^* = 0.75$

$n^* = 0.50$

$n^* = 0.25$

$n^* = 0.00$

$n^* = 0.75$

$n^* = 0.50$

$n^* = 0.25$

$n^* = 0.00$

$n^* = 0.75$

$n^* = 0.50$

$n^* = 0.25$

$n^* = 0.00$

$n^* = 0.75$

$n^* = 0.50$

$n^* = 0.25$

$n^* = 0.00$

$n^* = 0.75$

$n^* = 0.50$

$n^* = 0.25$

$n^* = 0.00$

$n^* = 0.75$

$n^* = 0.50$

$n^* = 0.25$

$n^* = 0.00$

$n^* = 0.75$

$n^* = 0.50$

$n^* = 0.25$

$n^* = 0.00$

$n^* = 0.75$

$n^* = 0.50$

$n^* = 0.25$

$n^* = 0.00$

$n^* = 0.75$

$n^* = 0.50$

$n^* = 0.25$

$n^* = 0.00$

$n^* = 0.75$

$n^* = 0.50$

$n^* = 0.25$

$n^* = 0.00$

$n^* = 0.75$

$n^* = 0.50$

$n^* = 0.25$

$n^* = 0.00$

$n^* = 0.75$

$n^* = 0.50$

$n^* = 0.25$

$n^* = 0.00$

$n^* = 0.75$

$n^* = 0.50$

$n^* = 0.25$

$n^* = 0.00$

$n^* = 0.75$

$n^* = 0.50$

$n^* = 0.25$

$n^* = 0.00$

$n^* = 0.75$

$n^* = 0.50$

$n^* = 0.25$

$n^* = 0.00$

$n^* = 0.75$

$n^* = 0.50$

$n^* = 0.25$

$n^* = 0.00$

$n^* = 0.75$

$n^* = 0.50$

$n^* = 0.25$

$n^* = 0.00$

$n^* = 0.75$

$n^* = 0.50$

$n^* = 0.25$

$n^* = 0.00$

$n^* = 0.75$

$n^* = 0.50$

$n^* = 0.25$

$n^* = 0.00$

$n^* = 0.75$

$n^* = 0.50$

$n^* = 0.25$

$n^* = 0.00$

$n^* = 0.75$

$n^* = 0.50$

$n^* = 0.25$

$n^* = 0.00$

$n^* = 0.75$

$n^* = 0.50$

$n^* = 0.25$

$n^* = 0.00$

$n^* = 0.75$

$n^* = 0.50$

$n^* = 0.25$

$n^* = 0.00$

$n^* = 0.75$

$n^* = 0.50$

$n^* = 0.25$

$n^* = 0.00$

$n^* = 0.75$

$n^* = 0.50$

$n^* = 0.25$

$n^* = 0.00$

$n^* = 0.75$

$n^* = 0.50$

$n^* = 0.25$

$n^* = 0.00$

$n^* = 0.75$

$n^* = 0.50$

$n^* = 0.25$

$n^* = 0.00$

$n^* = 0.75$

$n^* = 0.50$

$n^* = 0.25$

$n^* = 0.00$

$n^* = 0.75$

$n^* = 0.50$

$n^* = 0.25$

$n^* = 0.00$

$n^* = 0.75$

$n^* = 0.50$

$n^* = 0.25$

$n^* = 0.00$

$n^* = 0.75$

$n^* = 0.50$

$n^* = 0.25$

$n^* = 0.00$

$n^* = 0.75$

$n^* = 0.50$

$n^* = 0.25$

$n^* = 0.00$

$n^* = 0.75$

$n^* = 0.50$

$n^* = 0.25$

$n^* = 0.00$

$n^* = 0.75$

$n^* = 0.50$

$n^* = 0.25$

$n^* = 0.00$

$n^* = 0.75$

$n^* = 0.50$

$n^* = 0.25$

$n^* = 0.00$

$n^* = 0.75$

$n^* = 0.50$

$n^* = 0.25$

$n^* = 0.00$

$n^* = 0.75$

$n^* = 0.50$

$n^* = 0.25$

$n^* = 0.00$

$n^* = 0.75$

$n^* = 0.50$

$n^* = 0.25$

$n^* = 0.00$

$n^* = 0.75$

$n^* = 0.50$

$n^* = 0.25$

$n^* = 0.00$

$n^* = 0.75$

$n^* = 0.50$

$n^* = 0.25$

$n^* = 0.00$

$n^* = 0.75$

$n^* = 0.50$

$n^* = 0.25$

$n^* = 0.00$

$n^* = 0.75$

$n^* = 0.50$

$n^* = 0.25$

$n^* = 0.00$

Eingabe: Farbmetrisches Fernseh-Licht-System TLS00a

für Buntton $h^* = lab^*h = 103/360 = 0.286$

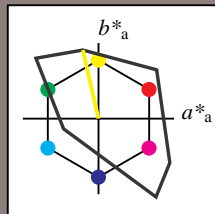
lab^*tch und lab^*nch

D65: Buntton Y

LCH*Ma: 93 93 103

olv*Ma: 1.0 1.0 0.0

Dreiecks-Helligkeit t^*



%Umfang

$u^*_{rel} = 158$

%Regularität

$g^*_{H,rel} = 20$

$g^*_{C,rel} = 37$

TLS00a; adaptierte CIELAB-Daten

	$L^*=L^*_a$	a^*_a	b^*_a	$C^*_{ab,a}$	$h^*_{ab,a}$
O _{Ma}	50.5	76.92	64.55	100.42	40
Y _{Ma}	92.66	-20.69	90.75	93.08	103
L _{Ma}	83.63	-82.75	79.9	115.04	136
C _{Ma}	86.88	-46.16	-13.55	48.12	196
V _{Ma}	30.39	76.06	-103.59	128.52	306
M _{Ma}	57.3	94.35	-58.41	110.97	328
N _{Ma}	0.01	0.0	0.0	0.0	0
W _{Ma}	95.41	0.0	0.0	0.0	0
R _{CIE}	39.92	58.74	27.99	65.07	25
J _{CIE}	81.26	-2.88	71.56	71.62	92
G _{CIE}	52.23	-42.41	13.6	44.55	162
B _{CIE}	30.57	1.41	-46.46	46.49	272

Ausgabe: Farbmetrisches Fernseh-Licht-System TLS00a

für Buntton $h^* = lab^*h = 103/360 = 0.286$

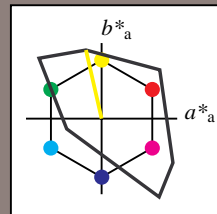
lab^*tch und lab^*nch

D65: Buntton Y

LCH*Ma: 93 93 103

olv*Ma: 1.0 1.0 0.0

Dreiecks-Helligkeit t^*



%Umfang

$u^*_{rel} = 158$

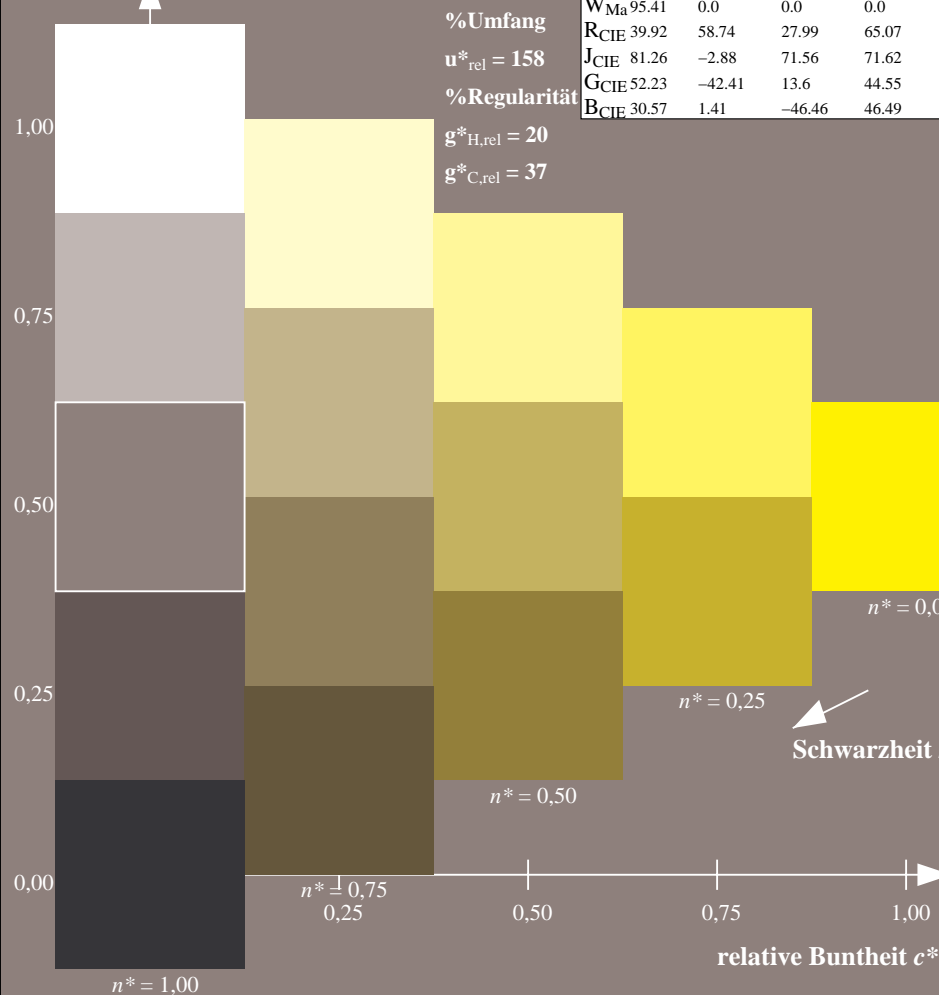
%Regularität

$g^*_{H,rel} = 20$

$g^*_{C,rel} = 37$

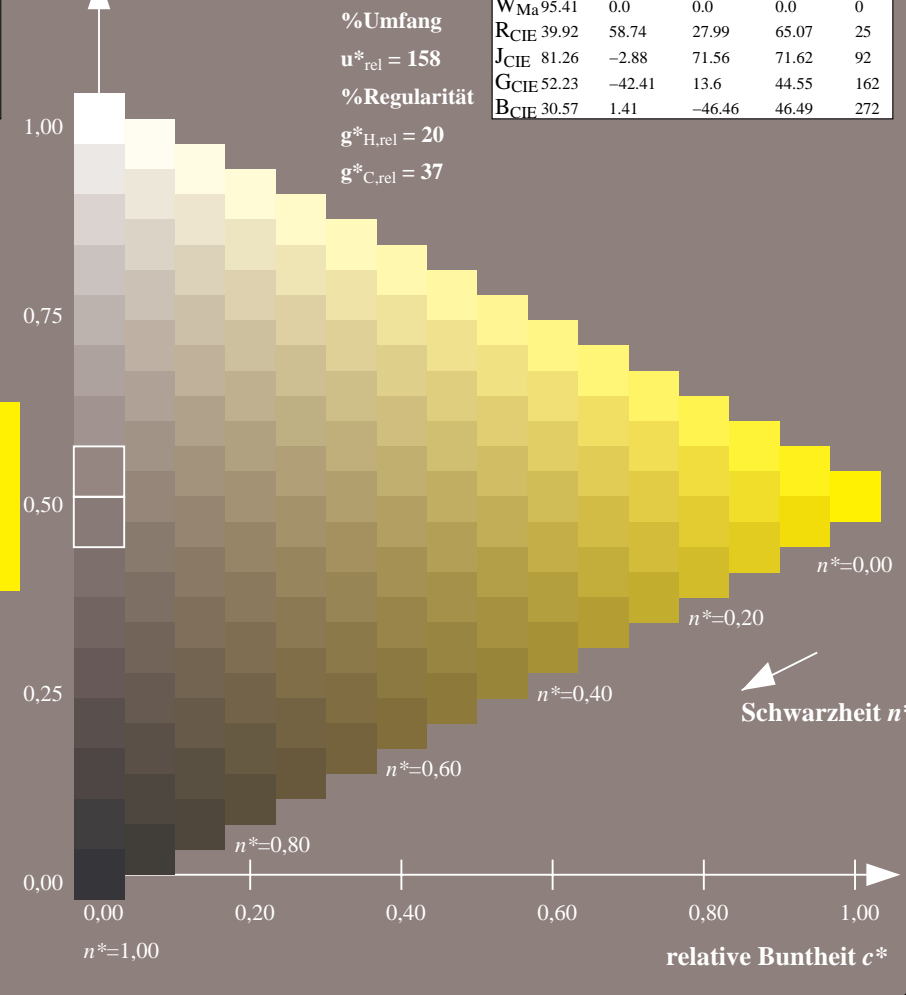
TLS00a; adaptierte CIELAB-Daten

	$L^*=L^*_a$	a^*_a	b^*_a	$C^*_{ab,a}$	$h^*_{ab,a}$
O _{Ma}	50.5	76.92	64.55	100.42	40
Y _{Ma}	92.66	-20.69	90.75	93.08	103
L _{Ma}	83.63	-82.75	79.9	115.04	136
C _{Ma}	86.88	-46.16	-13.55	48.12	196
V _{Ma}	30.39	76.06	-103.59	128.52	306
M _{Ma}	57.3	94.35	-58.41	110.97	328
N _{Ma}	0.01	0.0	0.0	0.0	0
W _{Ma}	95.41	0.0	0.0	0.0	0
R _{CIE}	39.92	58.74	27.99	65.07	25
J _{CIE}	81.26	-2.88	71.56	71.62	92
G _{CIE}	52.23	-42.41	13.6	44.55	162
B _{CIE}	30.57	1.41	-46.46	46.49	272



OG730-7N-020-1: 5-stufige Reihen für konstanten CIELAB Buntton 103/360 = 0.286 (links)

OG73: Prüfvorlage 2 nach DIN 33872-2, Buntton Y; DH
Unterscheidbarkeit 5- und 16-stufige Farbreihen



16-stufige Reihen für konstanten CIELAB Buntton 103/360 = 0.286 (rechts)

Eingabe: $cmY0$ ($\rightarrow cmY0^*_d$) $setcmYk$
Ausgabe 020-1: keine Änderung

Eingabe: Farbmetrisches Fernseh-Licht-System TLS00a

für Buntton $h^* = lab^*h = 136/360 = 0.378$

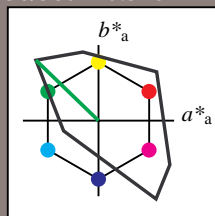
lab^*tch und lab^*nch

D65: Buntton L

LCH*Ma: 84 115 136

olv*Ma: 0.0 1.0 0.0

Dreiecks-Helligkeit t^*



TLS00a; adaptierte CIELAB-Daten

	$L^*=L^*_a$	a^*_a	b^*_a	$C^*_{ab,a}$	$h^*_{ab,a}$
O _{Ma}	50.5	76.92	64.55	100.42	40
Y _{Ma}	92.66	-20.69	90.75	93.08	103
L _{Ma}	83.63	-82.75	79.9	115.04	136
C _{Ma}	86.88	-46.16	-13.55	48.12	196
V _{Ma}	30.39	76.06	-103.59	128.52	306
M _{Ma}	57.3	94.35	-58.41	110.97	328
N _{Ma}	0.01	0.0	0.0	0.0	0
W _{Ma}	95.41	0.0	0.0	0.0	0
R _{CIE}	39.92	58.74	27.99	65.07	25
J _{CIE}	81.26	-2.88	71.56	71.62	92
G _{CIE}	52.23	-42.41	13.6	44.55	162
B _{CIE}	30.57	1.41	-46.46	46.49	272

%Umfang

$u^*_{rel} = 158$

%Regularität

$g^*_{H,rel} = 20$

$g^*_{C,rel} = 37$

$n^* = 0.00$

$n^* = 0.25$

Schwarzheit n^*

$n^* = 0.50$

$n^* = 0.75$

$n^* = 1.00$

relative Buntheit c^*

OG730-7N-020-2: 5-stufige Reihen für konstanten CIELAB Buntton 136/360 = 0.378 (links)

OG73: Prüfvorlage 2 nach DIN 33872-2, Buntton L; DH

Unterscheidbarkeit 5- und 16-stufige Farbreihen

Ausgabe: Farbmetrisches Fernseh-Licht-System TLS00a

für Buntton $h^* = lab^*h = 136/360 = 0.378$

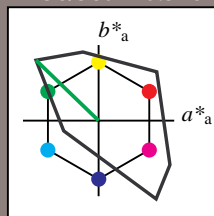
lab^*tch und lab^*nch

D65: Buntton L

LCH*Ma: 84 115 136

olv*Ma: 0.0 1.0 0.0

Dreiecks-Helligkeit t^*



TLS00a; adaptierte CIELAB-Daten

	$L^*=L^*_a$	a^*_a	b^*_a	$C^*_{ab,a}$	$h^*_{ab,a}$
O _{Ma}	50.5	76.92	64.55	100.42	40
Y _{Ma}	92.66	-20.69	90.75	93.08	103
L _{Ma}	83.63	-82.75	79.9	115.04	136
C _{Ma}	86.88	-46.16	-13.55	48.12	196
V _{Ma}	30.39	76.06	-103.59	128.52	306
M _{Ma}	57.3	94.35	-58.41	110.97	328
N _{Ma}	0.01	0.0	0.0	0.0	0
W _{Ma}	95.41	0.0	0.0	0.0	0
R _{CIE}	39.92	58.74	27.99	65.07	25
J _{CIE}	81.26	-2.88	71.56	71.62	92
G _{CIE}	52.23	-42.41	13.6	44.55	162
B _{CIE}	30.57	1.41	-46.46	46.49	272

%Umfang

$u^*_{rel} = 158$

%Regularität

$g^*_{H,rel} = 20$

$g^*_{C,rel} = 37$

$n^* = 0.00$

$n^* = 0.20$

$n^* = 0.40$

$n^* = 0.60$

$n^* = 0.80$

$n^* = 1.00$

Schwarzheit n^*

relative Buntheit c^*

16-stufige Reihen für konstanten CIELAB Buntton 136/360 = 0.378 (rechts)

Eingabe: $cmY0$ ($\rightarrow cmY0^*_d$) $setcmYk$

Ausgabe 020-2: keine Änderung

Eingabe: Farbmétrisches Fernseh-Licht-System TLS00a

für Buntton $h^* = lab^*h = 196/360 = 0.545$

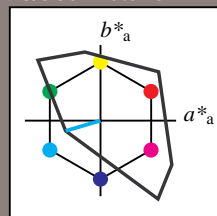
lab^*tch und lab^*nch

D65: Buntton C

LCH*Ma: 87 48 196

olv*Ma: 0.0 1.0 1.0

Dreiecks-Helligkeit t^*



TLS00a; adaptierte CIELAB-Daten

	$L^*=L^*_a$	a^*_a	b^*_a	$C^*_{ab,a}$	$h^*_{ab,a}$
O _{Ma}	50.5	76.92	64.55	100.42	40
Y _{Ma}	92.66	-20.69	90.75	93.08	103
L _{Ma}	83.63	-82.75	79.9	115.04	136
C _{Ma}	86.88	-46.16	-13.55	48.12	196
V _{Ma}	30.39	76.06	-103.59	128.52	306
M _{Ma}	57.3	94.35	-58.41	110.97	328
N _{Ma}	0.01	0.0	0.0	0.0	0
W _{Ma}	95.41	0.0	0.0	0.0	0
R _{CIE}	39.92	58.74	27.99	65.07	25
J _{CIE}	81.26	-2.88	71.56	71.62	92
G _{CIE}	52.23	-42.41	13.6	44.55	162
B _{CIE}	30.57	1.41	-46.46	46.49	272

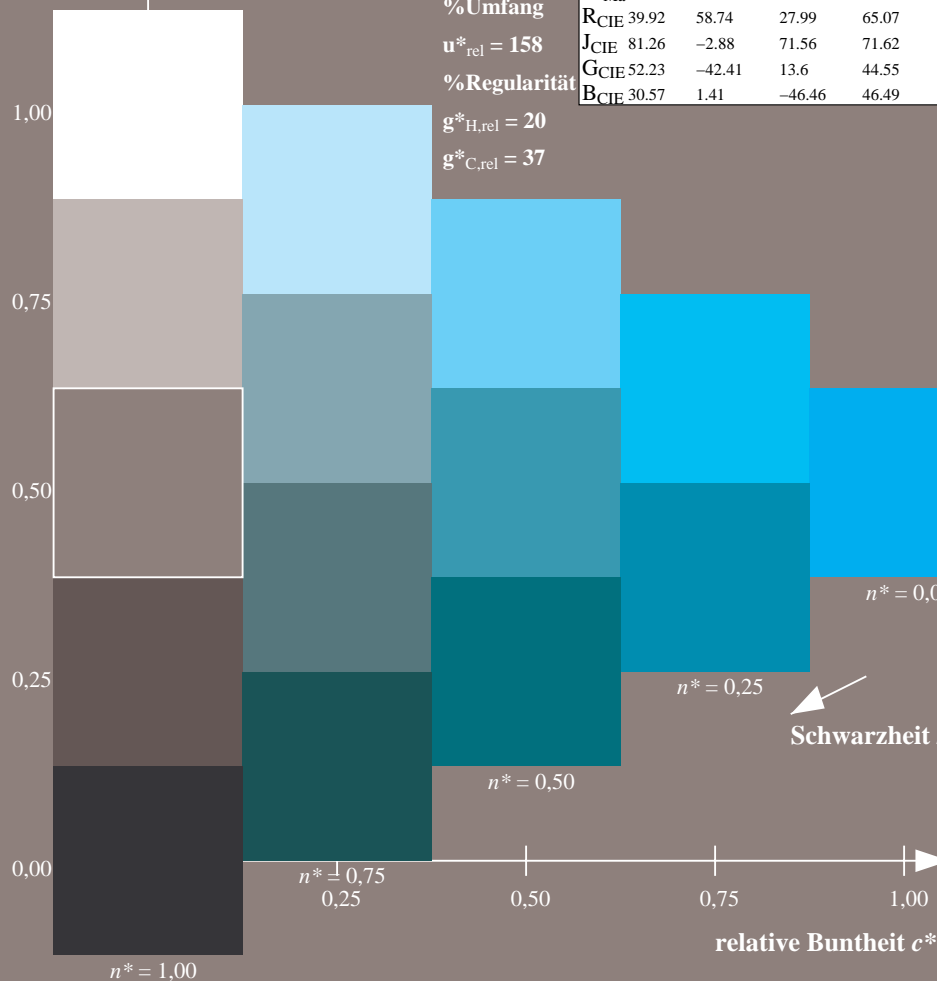
%Umfang

$u^*_{rel} = 158$

%Regularität

$g^*_{H,rel} = 20$

$g^*_{C,rel} = 37$



OG730-7N-020-3: 5-stufige Reihen für konstanten CIELAB Buntton 196/360 = 0.545 (links)

OG73: Prüfvorlage 2 nach DIN 33872-2, Buntton C; DH
Unterscheidbarkeit 5- und 16-stufige Farbreihen

Ausgabe: Farbmétrisches Fernseh-Licht-System TLS00a

für Buntton $h^* = lab^*h = 196/360 = 0.545$

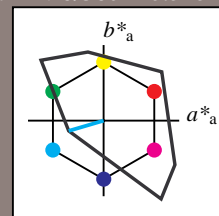
lab^*tch und lab^*nch

D65: Buntton C

LCH*Ma: 87 48 196

olv*Ma: 0.0 1.0 1.0

Dreiecks-Helligkeit t^*



TLS00a; adaptierte CIELAB-Daten

	$L^*=L^*_a$	a^*_a	b^*_a	$C^*_{ab,a}$	$h^*_{ab,a}$
O _{Ma}	50.5	76.92	64.55	100.42	40
Y _{Ma}	92.66	-20.69	90.75	93.08	103
L _{Ma}	83.63	-82.75	79.9	115.04	136
C _{Ma}	86.88	-46.16	-13.55	48.12	196
V _{Ma}	30.39	76.06	-103.59	128.52	306
M _{Ma}	57.3	94.35	-58.41	110.97	328
N _{Ma}	0.01	0.0	0.0	0.0	0
W _{Ma}	95.41	0.0	0.0	0.0	0
R _{CIE}	39.92	58.74	27.99	65.07	25
J _{CIE}	81.26	-2.88	71.56	71.62	92
G _{CIE}	52.23	-42.41	13.6	44.55	162
B _{CIE}	30.57	1.41	-46.46	46.49	272

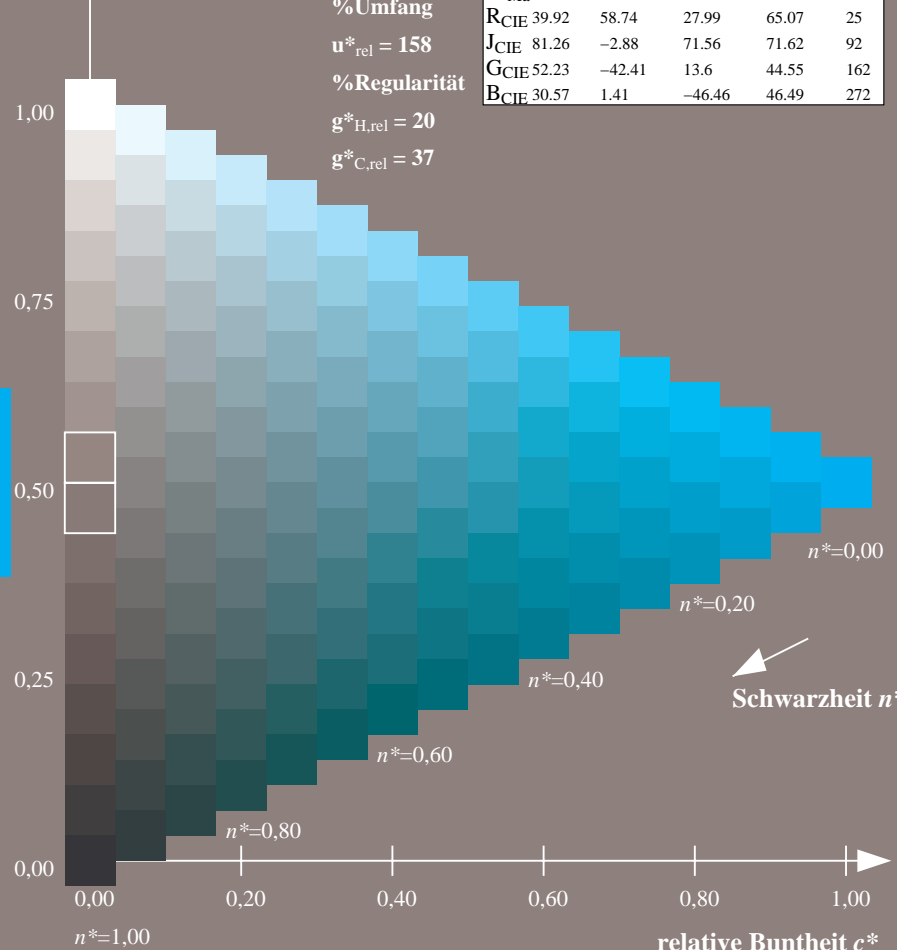
%Umfang

$u^*_{rel} = 158$

%Regularität

$g^*_{H,rel} = 20$

$g^*_{C,rel} = 37$



16-stufige Reihen für konstanten CIELAB Buntton 196/360 = 0.545 (rechts)

Eingabe: $cmY0$ ($\rightarrow cmY0^*_d$) $setcmYk$
Ausgabe 020-3: keine Änderung

Eingabe: Farbmetrisches Fernseh-Licht-System TLS00a

für Buntton $h^* = lab^*h = 306/360 = 0.851$

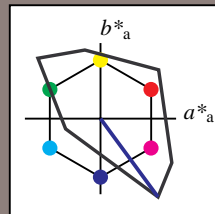
lab^*tch und lab^*nch

D65: Buntton V

LCH*Ma: 30 129 306

olv*Ma: 0.0 0.0 1.0

Dreiecks-Helligkeit t^*



TLS00a; adaptierte CIELAB-Daten

	$L^*=L^*_a$	a^*_a	b^*_a	$C^*_{ab,a}$	$h^*_{ab,a}$
O _{Ma}	50.5	76.92	64.55	100.42	40
Y _{Ma}	92.66	-20.69	90.75	93.08	103
L _{Ma}	83.63	-82.75	79.9	115.04	136
C _{Ma}	86.88	-46.16	-13.55	48.12	196
V _{Ma}	30.39	76.06	-103.59	128.52	306
M _{Ma}	57.3	94.35	-58.41	110.97	328
N _{Ma}	0.01	0.0	0.0	0.0	0
W _{Ma}	95.41	0.0	0.0	0.0	0
R _{CIE}	39.92	58.74	27.99	65.07	25
J _{CIE}	81.26	-2.88	71.56	71.62	92
G _{CIE}	52.23	-42.41	13.6	44.55	162
B _{CIE}	30.57	1.41	-46.46	46.49	272

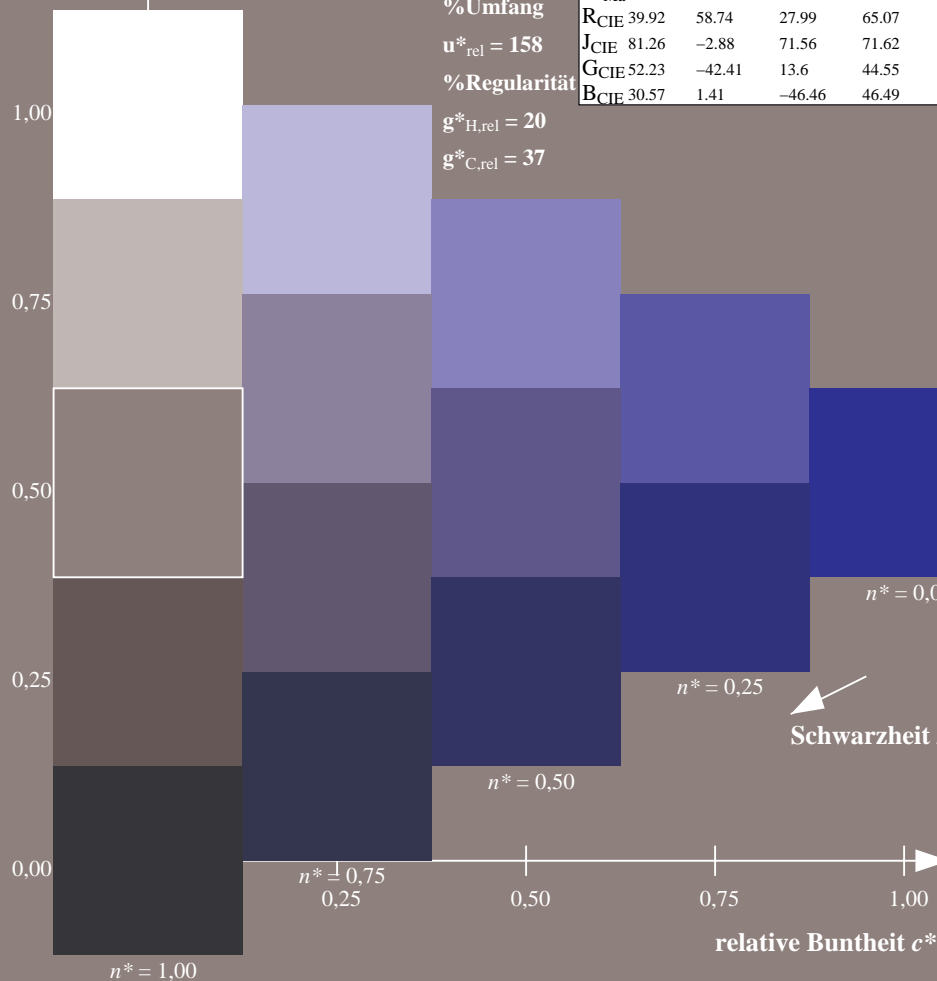
%Umfang

$u^*_{rel} = 158$

%Regularität

$g^*_{H,rel} = 20$

$g^*_{C,rel} = 37$



OG730-7N-020-4: 5-stufige Reihen für konstanten CIELAB Buntton 306/360 = 0.851 (links)

OG73: Prüfvorlage 2 nach DIN 33872-2, Buntton V; DH
Unterscheidbarkeit 5- und 16-stufige Farbreihen

Ausgabe: Farbmetrisches Fernseh-Licht-System TLS00a

für Buntton $h^* = lab^*h = 306/360 = 0.851$

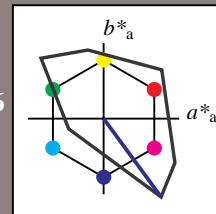
lab^*tch und lab^*nch

D65: Buntton V

LCH*Ma: 30 129 306

olv*Ma: 0.0 0.0 1.0

Dreiecks-Helligkeit t^*



TLS00a; adaptierte CIELAB-Daten

	$L^*=L^*_a$	a^*_a	b^*_a	$C^*_{ab,a}$	$h^*_{ab,a}$
O _{Ma}	50.5	76.92	64.55	100.42	40
Y _{Ma}	92.66	-20.69	90.75	93.08	103
L _{Ma}	83.63	-82.75	79.9	115.04	136
C _{Ma}	86.88	-46.16	-13.55	48.12	196
V _{Ma}	30.39	76.06	-103.59	128.52	306
M _{Ma}	57.3	94.35	-58.41	110.97	328
N _{Ma}	0.01	0.0	0.0	0.0	0
W _{Ma}	95.41	0.0	0.0	0.0	0
R _{CIE}	39.92	58.74	27.99	65.07	25
J _{CIE}	81.26	-2.88	71.56	71.62	92
G _{CIE}	52.23	-42.41	13.6	44.55	162
B _{CIE}	30.57	1.41	-46.46	46.49	272

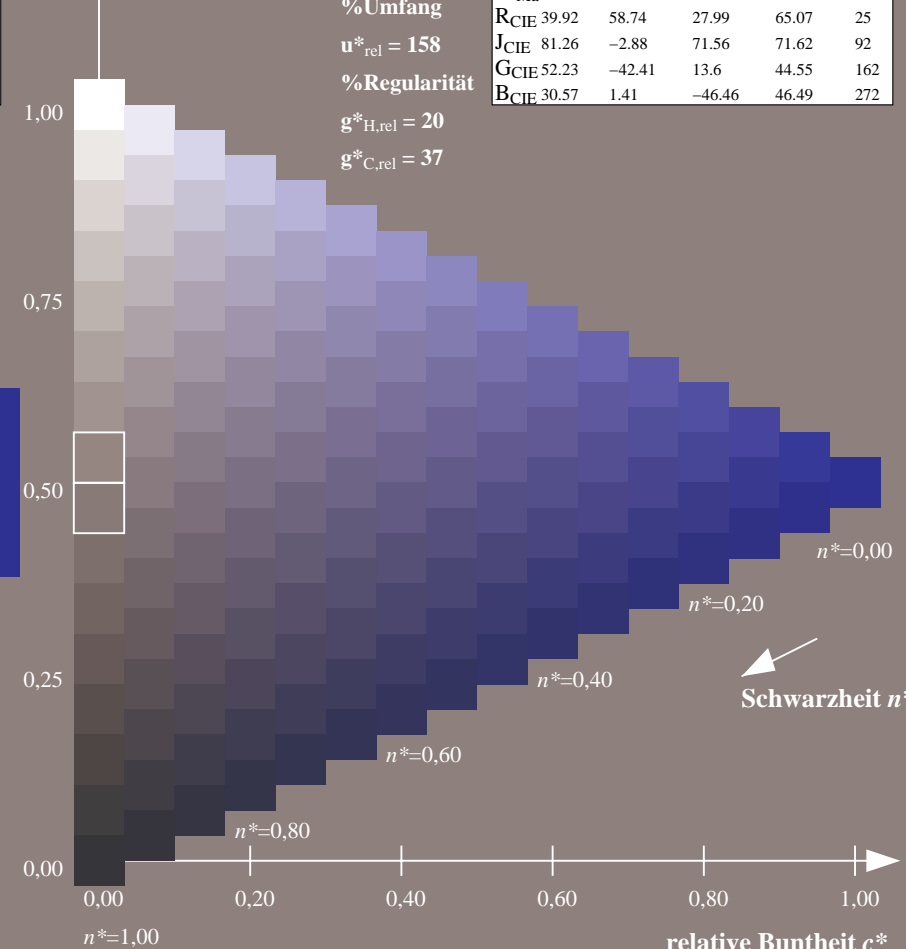
%Umfang

$u^*_{rel} = 158$

%Regularität

$g^*_{H,rel} = 20$

$g^*_{C,rel} = 37$



16-stufige Reihen für konstanten CIELAB Buntton 306/360 = 0.851 (rechts)

Eingabe: $cmY0$ ($\rightarrow cmY0^*_d$) $setcmYk$
Ausgabe 020-4: keine Änderung

Eingabe: Farbmetrisches Fernseh-Licht-System TLS00a

für Buntton $h^* = lab^*h = 328/360 = 0,912$

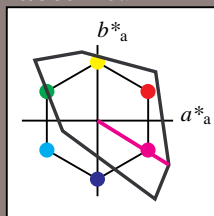
lab^*tch und lab^*nch

D65: Buntton M

LCH*Ma: 57 111 328

olv*Ma: 1.0 0.0 1.0

Dreiecks-Helligkeit t^*



%Umfang

$u^*_{rel} = 158$

%Regularität

$g^*_{H,rel} = 20$

$g^*_{C,rel} = 37$

TLS00a; adaptierte CIELAB-Daten

	$L^*=L^*_a$	a^*_a	b^*_a	$C^*_{ab,a}$	$h^*_{ab,a}$
O _{Ma}	50.5	76.92	64.55	100.42	40
Y _{Ma}	92.66	-20.69	90.75	93.08	103
L _{Ma}	83.63	-82.75	79.9	115.04	136
C _{Ma}	86.88	-46.16	-13.55	48.12	196
V _{Ma}	30.39	76.06	-103.59	128.52	306
M _{Ma}	57.3	94.35	-58.41	110.97	328
N _{Ma}	0.01	0.0	0.0	0.0	0
W _{Ma}	95.41	0.0	0.0	0.0	0
R _{CIE}	39.92	58.74	27.99	65.07	25
J _{CIE}	81.26	-2.88	71.56	71.62	92
G _{CIE}	52.23	-42.41	13.6	44.55	162
B _{CIE}	30.57	1.41	-46.46	46.49	272

Ausgabe: Farbmetrisches Fernseh-Licht-System TLS00a

für Buntton $h^* = lab^*h = 328/360 = 0,912$

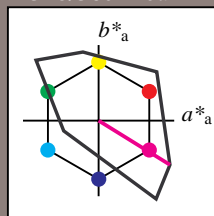
lab^*tch und lab^*nch

D65: Buntton M

LCH*Ma: 57 111 328

olv*Ma: 1.0 0.0 1.0

Dreiecks-Helligkeit t^*



%Umfang

$u^*_{rel} = 158$

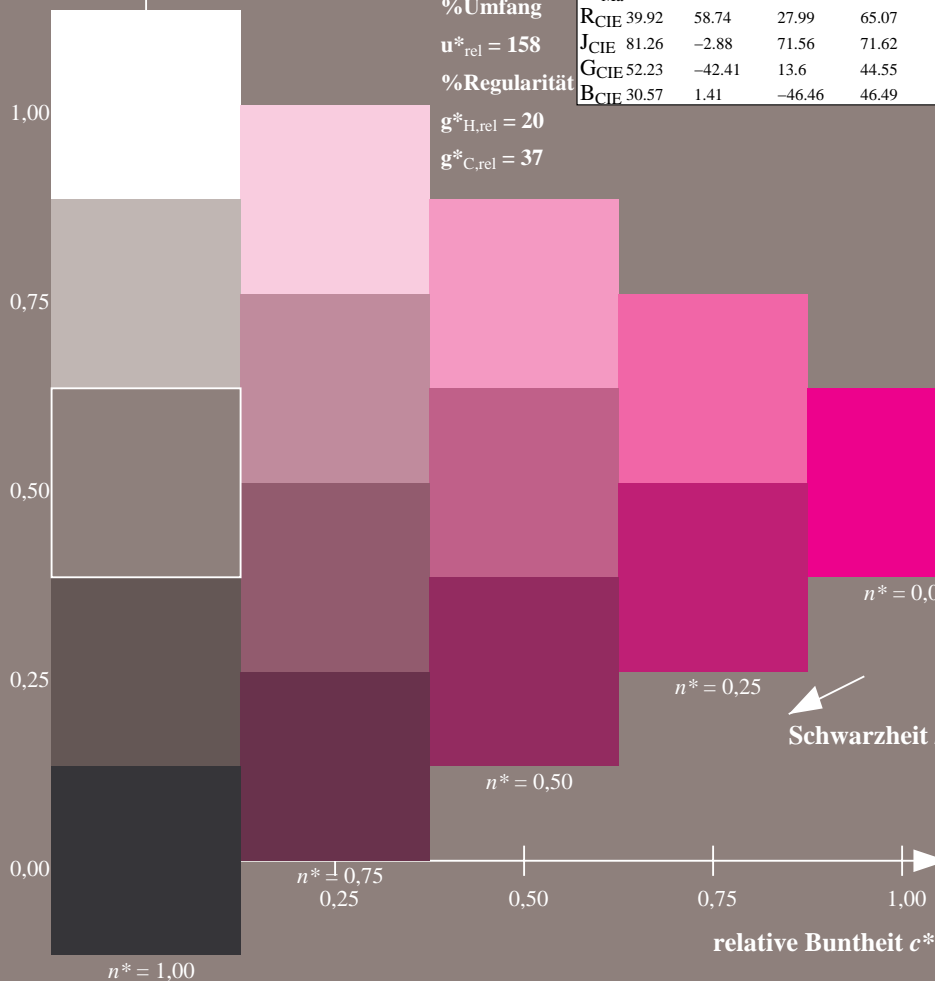
%Regularität

$g^*_{H,rel} = 20$

$g^*_{C,rel} = 37$

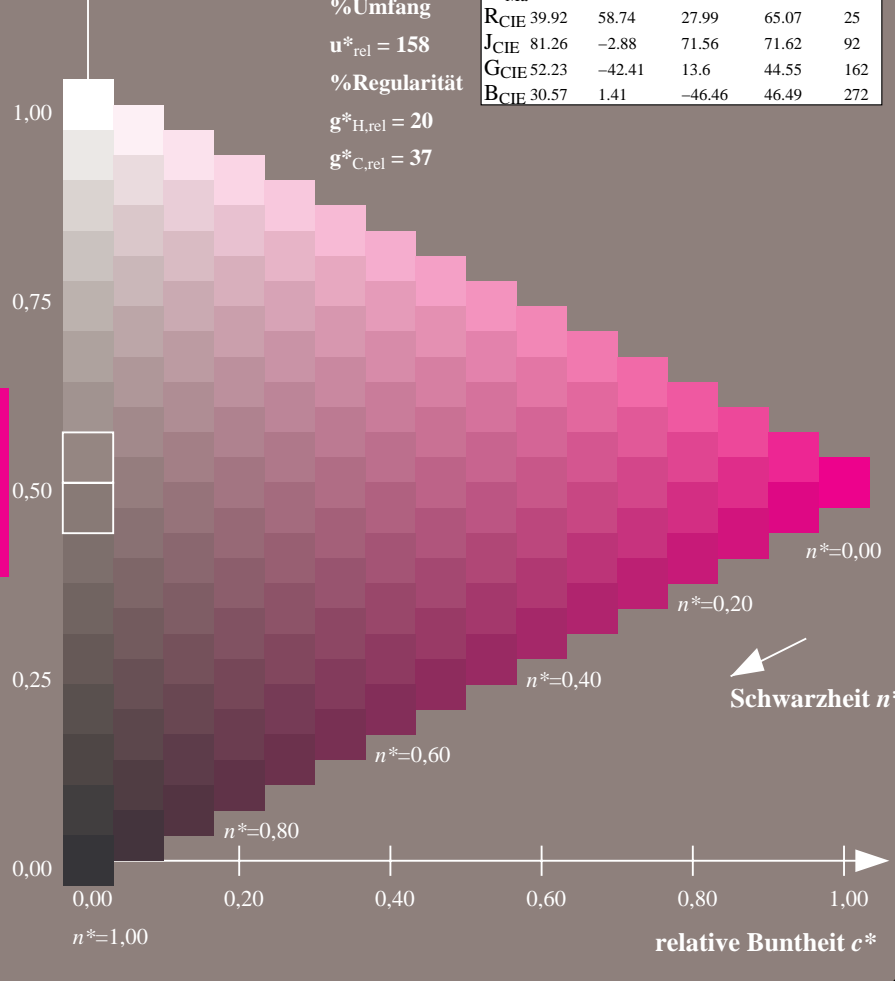
TLS00a; adaptierte CIELAB-Daten

	$L^*=L^*_a$	a^*_a	b^*_a	$C^*_{ab,a}$	$h^*_{ab,a}$
O _{Ma}	50.5	76.92	64.55	100.42	40
Y _{Ma}	92.66	-20.69	90.75	93.08	103
L _{Ma}	83.63	-82.75	79.9	115.04	136
C _{Ma}	86.88	-46.16	-13.55	48.12	196
V _{Ma}	30.39	76.06	-103.59	128.52	306
M _{Ma}	57.3	94.35	-58.41	110.97	328
N _{Ma}	0.01	0.0	0.0	0.0	0
W _{Ma}	95.41	0.0	0.0	0.0	0
R _{CIE}	39.92	58.74	27.99	65.07	25
J _{CIE}	81.26	-2.88	71.56	71.62	92
G _{CIE}	52.23	-42.41	13.6	44.55	162
B _{CIE}	30.57	1.41	-46.46	46.49	272



OG730-7N-020-5: 5-stufige Reihen für konstanten CIELAB Buntton 328/360 = 0.912 (links)

OG73: Prüfvorlage 2 nach DIN 33872-2, Buntton M; DH
Unterscheidbarkeit 5- und 16-stufige Farbreihen



16-stufige Reihen für konstanten CIELAB Buntton 328/360 = 0.912 (rechts)

Eingabe: $cm\dot{y}0$ ($\rightarrow cm\dot{y}0^*_d$) $setcm\dot{y}k$
Ausgabe 020-5: keine Änderung

Eingabe: Farbmetrisches Fernseh-Licht-System TLS00a

für Buntton $h^* = lab^*h = 25/360 = 0.071$

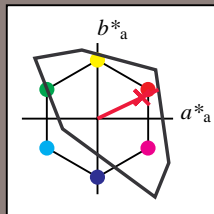
lab^*tch und lab^*nch

D65: Buntton R

LCH*Ma: 52 89 25

olv*Ma: 1.0 0.0 0.21

Dreiecks-Helligkeit t^*



TLS00a; adaptierte CIELAB-Daten

	$L^*=L^*_a$	a^*_a	b^*_a	$C^*_{ab,a}$	$h^*_{ab,a}$
O _{Ma}	50.5	76.92	64.55	100.42	40
Y _{Ma}	92.66	-20.69	90.75	93.08	103
L _{Ma}	83.63	-82.75	79.9	115.04	136
C _{Ma}	86.88	-46.16	-13.55	48.12	196
V _{Ma}	30.39	76.06	-103.59	128.52	306
M _{Ma}	57.3	94.35	-58.41	110.97	328
N _{Ma}	0.01	0.0	0.0	0.0	0
W _{Ma}	95.41	0.0	0.0	0.0	0
R _{CIE}	39.92	58.74	27.99	65.07	25
J _{CIE}	81.26	-2.88	71.56	71.62	92
G _{CIE}	52.23	-42.41	13.6	44.55	162
B _{CIE}	30.57	1.41	-46.46	46.49	272

%Umfang

$u^*_{rel} = 158$

%Regularität

$g^*_{H,rel} = 20$

$g^*_{C,rel} = 37$

$n^* = 1.00$

$n^* = 0.75$

$n^* = 0.50$

$n^* = 0.25$

$n^* = 0.00$

$n^* = 0.75$

$n^* = 0.50$

$n^* = 0.25$

$n^* = 0.00$

$n^* = 0.75$

$n^* = 0.50$

$n^* = 0.25$

$n^* = 0.00$

$n^* = 0.75$

$n^* = 0.50$

$n^* = 0.25$

$n^* = 0.00$

$n^* = 0.75$

$n^* = 0.50$

$n^* = 0.25$

$n^* = 0.00$

$n^* = 0.75$

$n^* = 0.50$

$n^* = 0.25$

$n^* = 0.00$

Ausgabe: Farbmetrisches Fernseh-Licht-System TLS00a

für Buntton $h^* = lab^*h = 25/360 = 0.071$

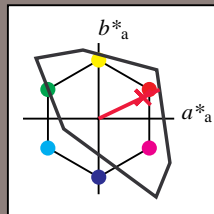
lab^*tch und lab^*nch

D65: Buntton R

LCH*Ma: 52 89 25

olv*Ma: 1.0 0.0 0.21

Dreiecks-Helligkeit t^*



TLS00a; adaptierte CIELAB-Daten

	$L^*=L^*_a$	a^*_a	b^*_a	$C^*_{ab,a}$	$h^*_{ab,a}$
O _{Ma}	50.5	76.92	64.55	100.42	40
Y _{Ma}	92.66	-20.69	90.75	93.08	103
L _{Ma}	83.63	-82.75	79.9	115.04	136
C _{Ma}	86.88	-46.16	-13.55	48.12	196
V _{Ma}	30.39	76.06	-103.59	128.52	306
M _{Ma}	57.3	94.35	-58.41	110.97	328
N _{Ma}	0.01	0.0	0.0	0.0	0
W _{Ma}	95.41	0.0	0.0	0.0	0
R _{CIE}	39.92	58.74	27.99	65.07	25
J _{CIE}	81.26	-2.88	71.56	71.62	92
G _{CIE}	52.23	-42.41	13.6	44.55	162
B _{CIE}	30.57	1.41	-46.46	46.49	272

%Umfang

$u^*_{rel} = 158$

%Regularität

$g^*_{H,rel} = 20$

$g^*_{C,rel} = 37$

$n^* = 1.00$

$n^* = 0.75$

$n^* = 0.50$

$n^* = 0.25$

$n^* = 0.00$

$n^* = 0.75$

$n^* = 0.50$

$n^* = 0.25$

$n^* = 0.00$

$n^* = 0.75$

$n^* = 0.50$

$n^* = 0.25$

$n^* = 0.00$

$n^* = 0.75$

$n^* = 0.50$

$n^* = 0.25$

$n^* = 0.00$

$n^* = 0.75$

$n^* = 0.50$

$n^* = 0.25$

$n^* = 0.00$

$n^* = 0.75$

$n^* = 0.50$

$n^* = 0.25$

$n^* = 0.00$

OG730-7N-020-6: 5-stufige Reihen für konstanten CIELAB Buntton 25/360 = 0.071 (links)

OG73: Prüfvorlage 2 nach DIN 33872-2, Buntton R; DEH
Unterscheidbarkeit 5- und 16-stufige Farbreihen

16-stufige Reihen für konstanten CIELAB Buntton 25/360 = 0.071 (rechts)

Eingabe: $cmY0$ ($\rightarrow cmY0^*_{de}$) $setcmYk$
Ausgabe 020-6: keine Änderung

Eingabe: Farbmetrisches Fernseh-Licht-System TLS00a

für Buntton $h^* = lab^*h = 92/360 = 0.256$

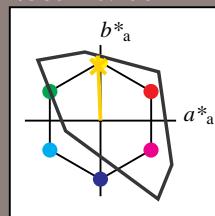
lab^*tch und lab^*nch

D65: Buntton J

LCH*Ma: 85 86 92

olv*Ma: 1.0 0.82 0.0

Dreiecks-Helligkeit t^*



TLS00a; adaptierte CIELAB-Daten

	$L^*=L^*_a$	a^*_a	b^*_a	$C^*_{ab,a}$	$h^*_{ab,a}$
O _{Ma}	50.5	76.92	64.55	100.42	40
Y _{Ma}	92.66	-20.69	90.75	93.08	103
L _{Ma}	83.63	-82.75	79.9	115.04	136
C _{Ma}	86.88	-46.16	-13.55	48.12	196
V _{Ma}	30.39	76.06	-103.59	128.52	306
M _{Ma}	57.3	94.35	-58.41	110.97	328
N _{Ma}	0.01	0.0	0.0	0.0	0
W _{Ma}	95.41	0.0	0.0	0.0	0
R _{CIE}	39.92	58.74	27.99	65.07	25
J _{CIE}	81.26	-2.88	71.56	71.62	92
G _{CIE}	52.23	-42.41	13.6	44.55	162
B _{CIE}	30.57	1.41	-46.46	46.49	272

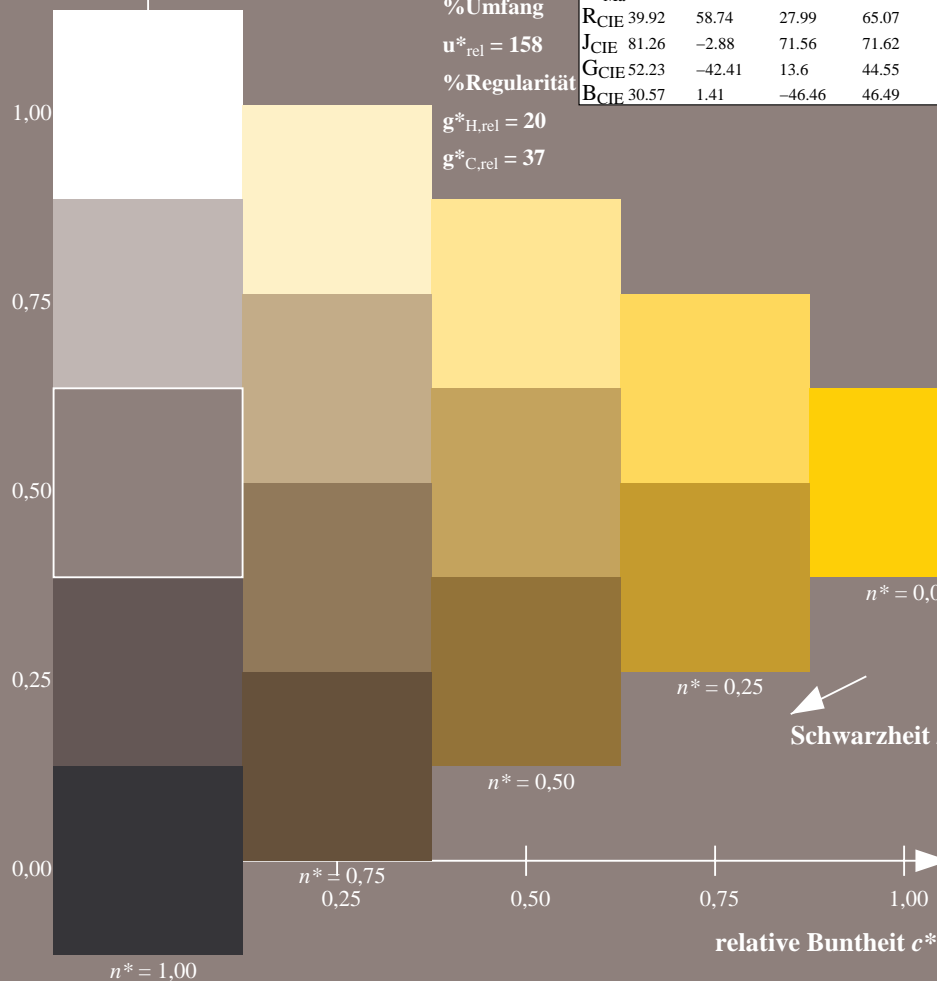
%Umfang

$u^*_{rel} = 158$

%Regularität

$g^*_{H,rel} = 20$

$g^*_{C,rel} = 37$



OG730-7N-020-7: 5-stufige Reihen für konstanten CIELAB Buntton 92/360 = 0.256 (links)

OG73: Prüfvorlage 2 nach DIN 33872-2, Buntton J; DEH
Unterscheidbarkeit 5- und 16-stufige Farbreihen

Ausgabe: Farbmetrisches Fernseh-Licht-System TLS00a

für Buntton $h^* = lab^*h = 92/360 = 0.256$

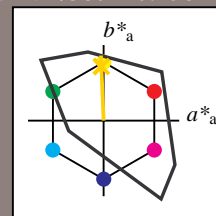
lab^*tch und lab^*nch

D65: Buntton J

LCH*Ma: 85 86 92

olv*Ma: 1.0 0.82 0.0

Dreiecks-Helligkeit t^*



TLS00a; adaptierte CIELAB-Daten

	$L^*=L^*_a$	a^*_a	b^*_a	$C^*_{ab,a}$	$h^*_{ab,a}$
O _{Ma}	50.5	76.92	64.55	100.42	40
Y _{Ma}	92.66	-20.69	90.75	93.08	103
L _{Ma}	83.63	-82.75	79.9	115.04	136
C _{Ma}	86.88	-46.16	-13.55	48.12	196
V _{Ma}	30.39	76.06	-103.59	128.52	306
M _{Ma}	57.3	94.35	-58.41	110.97	328
N _{Ma}	0.01	0.0	0.0	0.0	0
W _{Ma}	95.41	0.0	0.0	0.0	0
R _{CIE}	39.92	58.74	27.99	65.07	25
J _{CIE}	81.26	-2.88	71.56	71.62	92
G _{CIE}	52.23	-42.41	13.6	44.55	162
B _{CIE}	30.57	1.41	-46.46	46.49	272

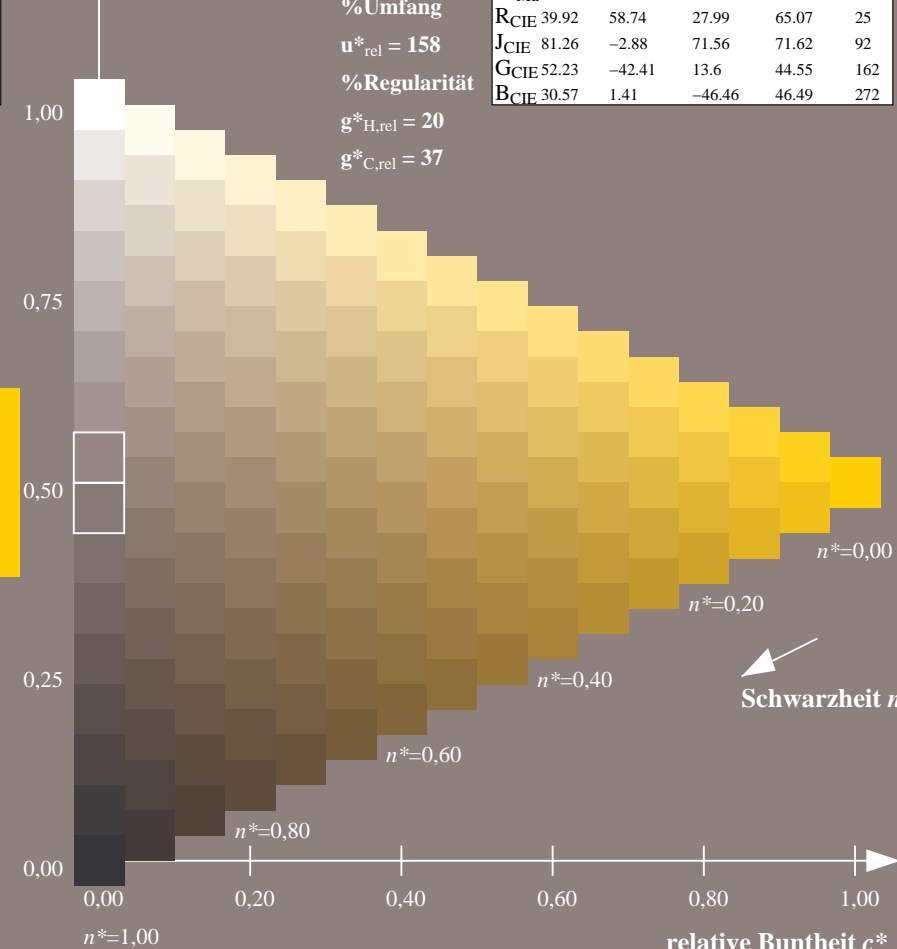
%Umfang

$u^*_{rel} = 158$

%Regularität

$g^*_{H,rel} = 20$

$g^*_{C,rel} = 37$



16-stufige Reihen für konstanten CIELAB Buntton 92/360 = 0.256 (rechts)

Eingabe: $cmY0$ ($\rightarrow cmY0^*_{de}$) $setcmYk$
Ausgabe 020-7: keine Änderung

Eingabe: Farbmetrisches Fernseh-Licht-System TLS00a

für Buntton $h^* = lab^*h = 162/360 = 0.451$

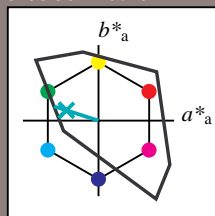
lab^*tch und lab^*nch

D65: Buntton G

LCH*Ma: 86 62 162

olv*Ma: 0.0 1.0 0.65

Dreiecks-Helligkeit t^*



TLS00a; adaptierte CIELAB-Daten

	$L^*=L^*_a$	a^*_a	b^*_a	$C^*_{ab,a}$	$h^*_{ab,a}$
O _{Ma}	50.5	76.92	64.55	100.42	40
Y _{Ma}	92.66	-20.69	90.75	93.08	103
L _{Ma}	83.63	-82.75	79.9	115.04	136
C _{Ma}	86.88	-46.16	-13.55	48.12	196
V _{Ma}	30.39	76.06	-103.59	128.52	306
M _{Ma}	57.3	94.35	-58.41	110.97	328
N _{Ma}	0.01	0.0	0.0	0.0	0
W _{Ma}	95.41	0.0	0.0	0.0	0
R _{CIE}	39.92	58.74	27.99	65.07	25
J _{CIE}	81.26	-2.88	71.56	71.62	92
G _{CIE}	52.23	-42.41	13.6	44.55	162
B _{CIE}	30.57	1.41	-46.46	46.49	272

%Umfang

$u^*_{rel} = 158$

%Regularität

$g^*_{H,rel} = 20$

$g^*_{C,rel} = 37$

$n^* = 0,00$

$n^* = 0,25$

Schwarzheit n^*

$n^* = 0,50$

$n^* = 0,75$

$n^* = 1,00$

relative Buntheit c^*

OG730-7N-020-8: 5-stufige Reihen für konstanten CIELAB Buntton 162/360 = 0.451 (links)

OG73: Prüfvorlage 2 nach DIN 33872-2, Buntton G; DEH

Unterscheidbarkeit 5- und 16-stufige Farbreihen

Ausgabe: Farbmetrisches Fernseh-Licht-System TLS00a

für Buntton $h^* = lab^*h = 162/360 = 0.451$

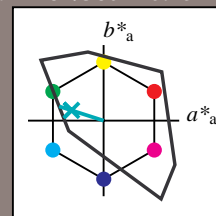
lab^*tch und lab^*nch

D65: Buntton G

LCH*Ma: 86 62 162

olv*Ma: 0.0 1.0 0.65

Dreiecks-Helligkeit t^*



TLS00a; adaptierte CIELAB-Daten

	$L^*=L^*_a$	a^*_a	b^*_a	$C^*_{ab,a}$	$h^*_{ab,a}$
O _{Ma}	50.5	76.92	64.55	100.42	40
Y _{Ma}	92.66	-20.69	90.75	93.08	103
L _{Ma}	83.63	-82.75	79.9	115.04	136
C _{Ma}	86.88	-46.16	-13.55	48.12	196
V _{Ma}	30.39	76.06	-103.59	128.52	306
M _{Ma}	57.3	94.35	-58.41	110.97	328
N _{Ma}	0.01	0.0	0.0	0.0	0
W _{Ma}	95.41	0.0	0.0	0.0	0
R _{CIE}	39.92	58.74	27.99	65.07	25
J _{CIE}	81.26	-2.88	71.56	71.62	92
G _{CIE}	52.23	-42.41	13.6	44.55	162
B _{CIE}	30.57	1.41	-46.46	46.49	272

%Umfang

$u^*_{rel} = 158$

%Regularität

$g^*_{H,rel} = 20$

$g^*_{C,rel} = 37$

$n^* = 0,00$

$n^* = 0,20$

$n^* = 0,40$

$n^* = 0,60$

$n^* = 0,80$

$n^* = 1,00$

Schwarzheit n^*

relative Buntheit c^*

16-stufige Reihen für konstanten CIELAB Buntton 162/360 = 0.451 (rechts)

Eingabe: $cmY0$ ($\rightarrow cmY0^*_{de}$) $setcmYk$

Ausgabe 020-8: keine Änderung

Eingabe: Farbmétrisches Fernseh-Licht-System TLS00a

für Buntton $h^* = lab^*h = 272/360 = 0.755$

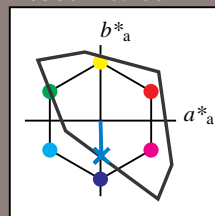
lab^*tch und lab^*nch

D65: Buntton B

LCH*Ma: 65 49 272

olv*Ma: 0.0 0.61 1.0

Dreiecks-Helligkeit t^*



TLS00a; adaptierte CIELAB-Daten

	$L^*=L^*_a$	a^*_a	b^*_a	$C^*_{ab,a}$	$h^*_{ab,a}$
O _{Ma}	50.5	76.92	64.55	100.42	40
Y _{Ma}	92.66	-20.69	90.75	93.08	103
L _{Ma}	83.63	-82.75	79.9	115.04	136
C _{Ma}	86.88	-46.16	-13.55	48.12	196
V _{Ma}	30.39	76.06	-103.59	128.52	306
M _{Ma}	57.3	94.35	-58.41	110.97	328
N _{Ma}	0.01	0.0	0.0	0.0	0
W _{Ma}	95.41	0.0	0.0	0.0	0
R _{CIE}	39.92	58.74	27.99	65.07	25
J _{CIE}	81.26	-2.88	71.56	71.62	92
G _{CIE}	52.23	-42.41	13.6	44.55	162
B _{CIE}	30.57	1.41	-46.46	46.49	272

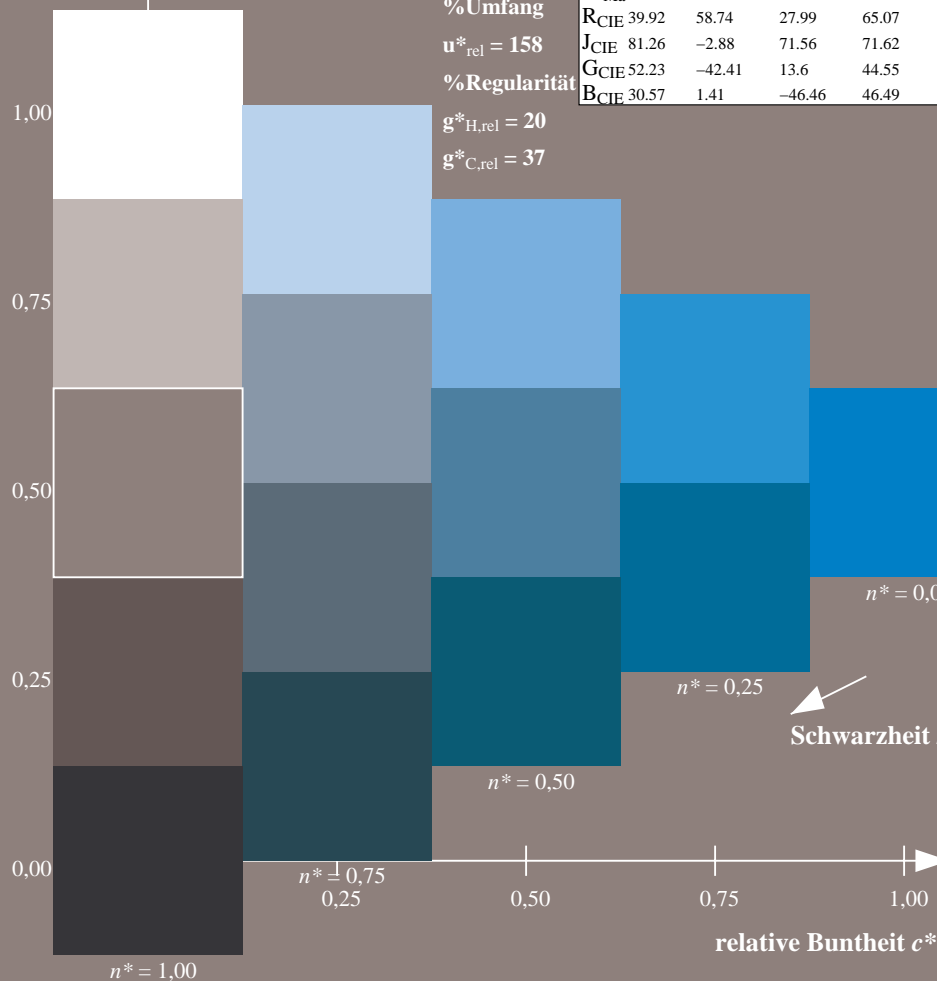
%Umfang

$u^*_{rel} = 158$

%Regularität

$g^*_{H,rel} = 20$

$g^*_{C,rel} = 37$



OG730-7N-020-9: 5-stufige Reihen für konstanten CIELAB Buntton 272/360 = 0.755 (links)

OG73: Prüfvorlage 2 nach DIN 33872-2, Buntton B; DEH
Unterscheidbarkeit 5- und 16-stufige Farbreihen

Ausgabe: Farbmétrisches Fernseh-Licht-System TLS00a

für Buntton $h^* = lab^*h = 272/360 = 0.755$

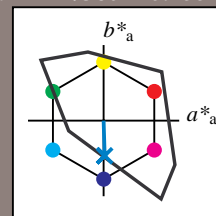
lab^*tch und lab^*nch

D65: Buntton B

LCH*Ma: 65 49 272

olv*Ma: 0.0 0.61 1.0

Dreiecks-Helligkeit t^*



TLS00a; adaptierte CIELAB-Daten

	$L^*=L^*_a$	a^*_a	b^*_a	$C^*_{ab,a}$	$h^*_{ab,a}$
O _{Ma}	50.5	76.92	64.55	100.42	40
Y _{Ma}	92.66	-20.69	90.75	93.08	103
L _{Ma}	83.63	-82.75	79.9	115.04	136
C _{Ma}	86.88	-46.16	-13.55	48.12	196
V _{Ma}	30.39	76.06	-103.59	128.52	306
M _{Ma}	57.3	94.35	-58.41	110.97	328
N _{Ma}	0.01	0.0	0.0	0.0	0
W _{Ma}	95.41	0.0	0.0	0.0	0
R _{CIE}	39.92	58.74	27.99	65.07	25
J _{CIE}	81.26	-2.88	71.56	71.62	92
G _{CIE}	52.23	-42.41	13.6	44.55	162
B _{CIE}	30.57	1.41	-46.46	46.49	272

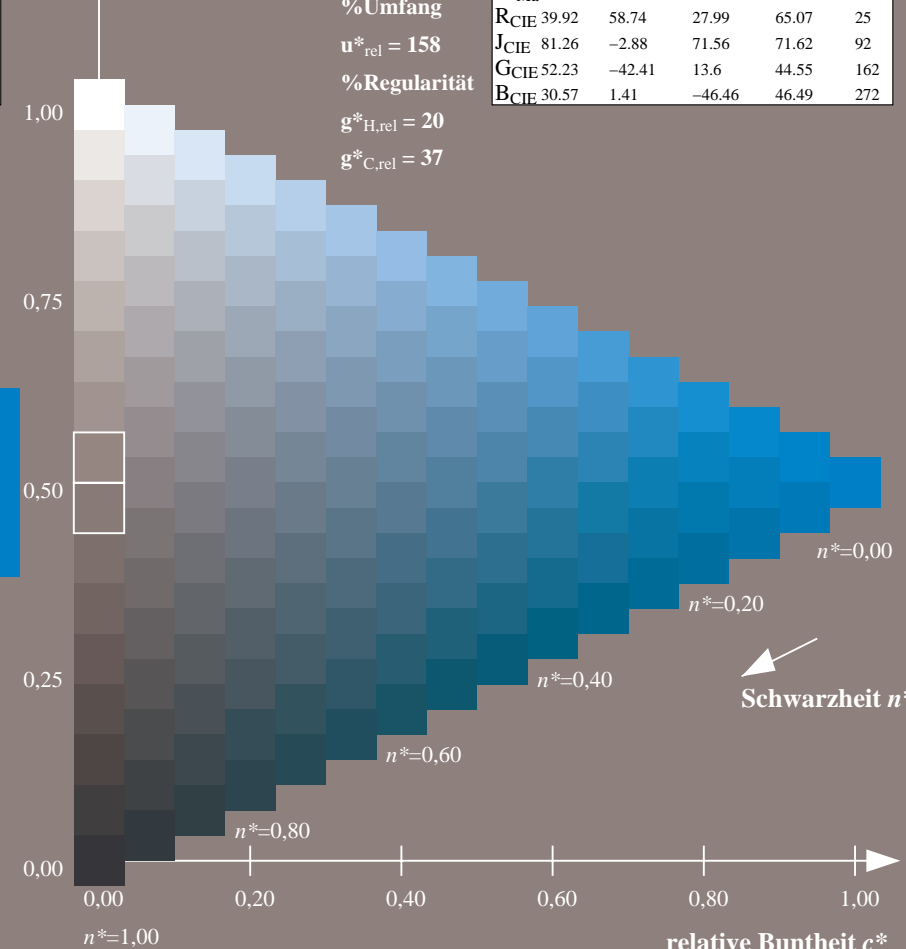
%Umfang

$u^*_{rel} = 158$

%Regularität

$g^*_{H,rel} = 20$

$g^*_{C,rel} = 37$

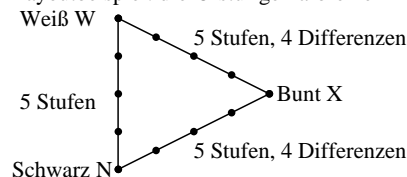


16-stufige Reihen für konstanten CIELAB Buntton 272/360 = 0.755 (rechts)

Eingabe: $cmY0$ ($\rightarrow cmY0^*_{de}$) $setcmYk$
Ausgabe 020-9: keine Änderung

Unterscheidbarkeit von 5-stufigen Farbreihen (Ja/Nein-Entscheidung)

Layoutbeispiel: drei 5-stufige Farbreihen



Es gibt drei Grundfarben auf jeder Seite:
Schwarz N, Weiß W und Bunt X.
Zehn Seiten enthalten 10 Bunttonebenen
X = OYLCVM und RJGB.
Es gibt maximal 12 unterscheidbare Stufen.

Alle Stufen der drei Serien N-W, W-X und X-N sollen unterscheidbar sein auf allen Seiten.

Sind die drei 5-stufigen Reihen auf allen Seiten unterscheidbar? unterstreiche: Ja/Nein

Nur im Fall von Nein: Sind die drei 5-stufigen Reihen auf Seite x von 10 Seiten unterscheidbar?

Unterstreiche Ja/Nein und gib im Fall von Nein die Anzahl unterscheidbarer Stufen an

- Seite 1: Ja/Nein, wenn Nein ..12 Stufendifferenzen sind unterscheidbar von O = Orangerot
Seite 2: Ja/Nein, wenn Nein ..12 Stufendifferenzen sind unterscheidbar von Y = Gelb
Seite 3: Ja/Nein, wenn Nein ..12 Stufendifferenzen sind unterscheidbar von L = Laubgrün
Seite 4: Ja/Nein, wenn Nein ..12 Stufendifferenzen sind unterscheidbar von C = Cyanblau
Seite 5: Ja/Nein, wenn Nein ..12 Stufendifferenzen sind unterscheidbar von V = Violettblau
Seite 6: Ja/Nein, wenn Nein ..12 Stufendifferenzen sind unterscheidbar von M = Magentarot
Seite 7: Ja/Nein, wenn Nein ..12 Stufendifferenzen sind unterscheidbar von R = Elementarrot
Seite 8: Ja/Nein, wenn Nein ..12 Stufendifferenzen sind unterscheidbar von J = Elementargelb
Seite 9: Ja/Nein, wenn Nein ..12 Stufendifferenzen sind unterscheidbar von G = Elementargrün
Seite 10: Ja/Nein, wenn Nein ..12 Stufendifferenzen sind unterscheidbar von B = Elementarblau

Summe: ..10 Ja-Seiten und .../120 Stufendifferenzen unterscheidbar

Teil 1

OG730-3N-020-10

Dokumentation von Dateiformat, Hard- und Software für diese Prüfung:

PDF-Datei: http://130.149.60.45/farbmetrik/OG73/OG73L0NP.PDF unterstreiche Ja/Nein

PS-Datei: http://130.149.60.45/farbmetrik/OG73/OG73L0NA.PS oder unterstreiche Ja/Nein

benutztes Rechner-Betriebssystem:

nur eines von Windows/Mac/Unix/anderes und Version:.....

Die Beurteilung ist für die Geräteausgabe: unterstreiche Monitor/Datenprojektor/Drucker

Geräte-Modell, -Treiber und -Version:.....

Geräteausgabe mit PDF/PS-Datei: unterstreiche PDF-/PS-Datei

Für Geräteausgabe mit PDF-Datei OG73L0NP.PDF:

- entweder PDF-Dateitransfer "download, copy" nach PDF-Gerät.....
oder mit Rechnersystem-Interpretation durch "Display-PDF":.....
oder mit Software, z. B. Adobe-Reader/-Acrobat und Version:.....
oder mit Software, z. B. Ghostscript und Version:.....

Für Geräteausgabe mit PS-Datei OG73L0NA.PS:

- entweder PS-Dateitransfer "download, copy" nach PS-Gerät.....
oder mit Rechnersystem-Interpretation durch "Display-PS":.....
oder mit Software, z. B. Ghostscript und Version:.....
oder mit Software, z. B. Mac-Yap und Version:.....

Spezielle Anmerkungen:

.....
.....
.....

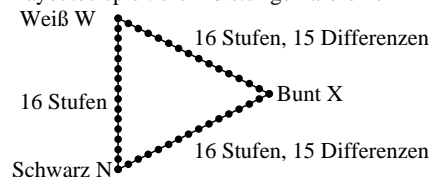
Teil 3

OG730-7N-020-10

OG73: Vordruck A für Prüfvorlage 2 nach DIN 33872-2; DH
Unterscheidbarkeit von Farbstufen (Ja/Nein-Entscheidung)

Unterscheidbarkeit von 16-stufigen Farbreihen (Ja/Nein-Entscheidung)

Layoutbeispiel: drei 16-stufige Farbreihen



Es gibt drei Grundfarben auf jeder Seite:
Schwarz N, Weiß W und Bunt X.
Zehn Seiten enthalten 10 Bunttonebenen
X = OYLCVM und RJGB.
Es gibt maximal 45 unterscheidbare Stufen.

Alle Stufen der drei Serien N-W, W-X und X-N sollen unterscheidbar sein auf allen Seiten.

Sind die drei 16-stufigen Reihen auf allen Seiten unterscheidbar? unterstreiche: Ja/Nein

Nur im Fall von Nein: Sind die drei 16-stufigen Reihen auf Seite x von 10 Seiten unterscheidbar?

Unterstreiche Ja/Nein und gib im Fall von Nein die Anzahl unterscheidbarer Stufen an

- Seite 1: Ja/Nein, wenn Nein ..45 Stufendifferenzen sind unterscheidbar von O = Orangerot
Seite 2: Ja/Nein, wenn Nein ..45 Stufendifferenzen sind unterscheidbar von Y = Gelb
Seite 3: Ja/Nein, wenn Nein ..45 Stufendifferenzen sind unterscheidbar von L = Laubgrün
Seite 4: Ja/Nein, wenn Nein ..45 Stufendifferenzen sind unterscheidbar von C = Cyanblau
Seite 5: Ja/Nein, wenn Nein ..45 Stufendifferenzen sind unterscheidbar von V = Violettblau
Seite 6: Ja/Nein, wenn Nein ..45 Stufendifferenzen sind unterscheidbar von M = Magentarot
Seite 7: Ja/Nein, wenn Nein ..45 Stufendifferenzen sind unterscheidbar von R = Elementarrot
Seite 8: Ja/Nein, wenn Nein ..45 Stufendifferenzen sind unterscheidbar von J = Elementargelb
Seite 9: Ja/Nein, wenn Nein ..45 Stufendifferenzen sind unterscheidbar von G = Elementargrün
Seite 10: Ja/Nein, wenn Nein ..45 Stufendifferenzen sind unterscheidbar von B = Elementarblau

Summe: ..10 Ja-Seiten und .../450 Stufendifferenzen unterscheidbar

Teil 2

OG731-3N-020-10

Dokumentation der Beurteiler-Farbseigenschaften für diese Prüfung:

Der Beurteiler hat **normales** Farbsehen nach einer Prüfung:
entweder nach DIN 6160:1996 mit Anomaloskop nach *Nagel*
oder mit Farbpunkt-Prüftafeln nach *Ishihara*
oder mit, bitte nennen:.....

unterstreiche Ja/Nein
unterstreiche Ja/unbekannt
unterstreiche Ja/unbekannt
unterstreiche Ja/unbekannt

Für visuelle Bewertung der Display(Monitor, Daten-Projektor)-Ausgabe

Büro-Arbeitsplatz-Beleuchtung ist Tageslicht (bedeckter/Nordhimmel)

PDF-Datei: http://130.149.60.45/farbmetrik/OG73/OG73F1P2.PDF

PS-Datei: http://130.149.60.45/farbmetrik/OG73/OG73F1P2.PS

Bild A7-020-2: Kontrastbereich: (>F:0) (F:0) (E:0) (D:0) (C:0) (A:0) (9:0) (7:0) (5:0) (3:0) (<3:0)

vergleiche Normdruckausgabe nach ISO/IEC 15775 mit Bereich F:0 unterstreiche Bereich

Anmerkung: Bei Tageslichtbürobeleuchtung ist der Kontrastbereich oft:

am Display zwischen: >F:0 und E:0 (Monitor), D:0 und 3:0 (Datenprojektor)

Nur für optionale farbmimetrische Kennzeichnung mit PDF/PS-Dateiausgabe

PDF-Datei: http://130.149.60.45/farbmetrik/OG73/OG73F1P2.PDF

Bild A7-020-2

unterstreiche Ja/Nein

PS-Datei: http://130.149.60.45/farbmetrik/OG73/OG73F1P2.PS

Bild A7-020-2

oder unterstreiche Ja/Nein

Farbmessung und Kennzeichnung für:

CIE-Normlichtart D65, CIE-2-Grad-Beobachter, CIE-45/0-Geometrie

unterstreiche Ja/Nein

Wenn Nein, bitte andere Parameter nennen:

Farbmimetrische Kennzeichnung mit PS-Datei für Farben der Spalten A bis T

Ersatz der CIELAB-Daten in Datei www.ps.bam.de/Dg17/10L/L17g00NP.PS und Transfer

der PS-Datei L17g00NP.PS in PDF-Datei L17g00NP.PDF

unterstreiche Ja/Nein

Wenn Nein, bitte andere Methode beschreiben:

Teil 4

OG731-7N-020-10

Eingabe: *cmy0* (->*cmy0**_d) *setcmyk*
Ausgabe 020-10: keine Änderung

i	LAB*ref	l*out	LAB*out	LAB*out/c-ref	ΔE*
1	0.0	0.0	0.0	0.0	0.01
2	6.36	0.0	0.07	6.36	0.01
3	12.72	0.0	0.13	12.72	0.01
4	19.08	0.0	0.2	19.08	0.01
5	25.44	0.0	0.27	25.44	0.01
6	31.8	0.0	0.33	31.8	0.01
7	38.16	0.0	0.4	38.16	0.01
8	44.52	0.0	0.47	44.52	0.01
9	50.89	0.0	0.53	50.89	0.01
10	57.25	0.0	0.6	57.25	0.01
11	63.61	0.0	0.67	63.61	0.01
12	69.97	0.0	0.73	69.97	0.01
13	76.33	0.0	0.8	76.33	0.01
14	82.69	0.0	0.87	82.69	0.01
15	89.05	0.0	0.93	89.05	0.01
16	95.41	0.0	1.0	95.41	0.01
17	0.0	0.0	0.0	0.0	0.01
18	23.85	0.0	0.25	23.85	0.01
19	47.71	0.0	0.5	47.71	0.01
20	71.56	0.0	0.75	71.56	0.01
21	95.41	0.0	1.0	95.41	0.01

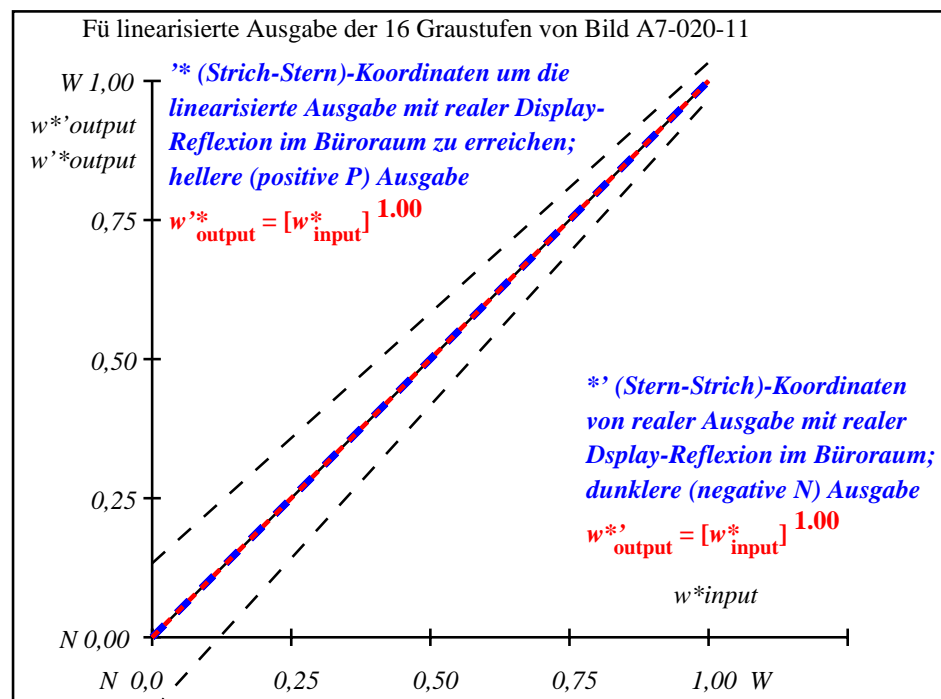
Start-Ausgabe S1
Kennzeichnung nach
ISO/IEC 15775 Anhang G
und DIN 33866-1 Anhang G

Mittlerer Helligkeitsabstand (16 Stufen)
 $\Delta E^*_{\text{CIELAB}} = 0.0$

Mittlerer Helligkeitsabstand (5 Stufen)
 $\Delta L^*_{\text{CIELAB}} = 0.0$

Mittlerer Farbwiedergabe-Index: $R^*_{\text{ab,m}} = 100$

OG730-3N-020-11: File: Measure unknown; Device: Device unknown; Date: Date unknown



OG731-3N-020-11: File: Measure unknown; Device: Device unknown; Date: Date unknown

L^*/Y_{intended} (absolut)	0.0/0.0	6.4/0.7	12.7/1.5	19.1/2.8	25.4/4.6	31.8/7.0	38.2/10.2	44.5/14.2	50.9/19.2	57.2/25.2	63.6/32.3	70.0/40.7	76.3/50.4	82.7/61.6	89.0/74.3	95.4/88.6
$n^* n^* n^* 0$ setcmyk $g_p=1.00$ Nr. und Hex-Code	00;F	01;E	02;D	03;C	04;B	05;A	06;9	07;8	08;7	09;6	10;5	11;4	12;3	13;2	14;1	15;0
$w^*=l^*$ (relativ)	0.000	0.067	0.133	0.200	0.267	0.333	0.400	0.467	0.533	0.600	0.667	0.733	0.800	0.867	0.933	1.000
w^*_{intended} w^*_{out}	0.000 0.0	0.067 0.067	0.133 0.133	0.200 0.2	0.267 0.267	0.333 0.333	0.400 0.4	0.467 0.467	0.533 0.533	0.600 0.6	0.667 0.667	0.733 0.733	0.800 0.8	0.867 0.867	0.933 0.933	1.000 1.0

OG730-7N, Bild A7-020-11: 16 visuell gleichabständige L^* -Graustufen; PS-Operator: $n^* n^* n^* 0$ setcmykcolor

OG73: Ein-Ausgabe-Beziehung nach ISO 9241-306; DH

Gesehener Y-Kontrast $Y_W:Y_N=88,9:0,31$; Y_N -Bereich 0,0 to <0,46Ausgabe 020-11: keine Änderung

Eingabe: $cmy0$ ($\rightarrow cmy0^*_d$) setcmyk